

УДК 543.42+541.49

ХИМИЯ

К. К. КАЛНИНЬШ, Б. Г. БЕЛЕНЬКИЙ, И. В. НОВОЖИЛОВА, В. В. КУДРЯВЦЕВ,  
член-корреспондент АН СССР М. М. КОТОН

## СПЕКТРОСКОПИЧЕСКОЕ ИССЛЕДОВАНИЕ ВЗАИМОДЕЙСТВИЯ ПИРОМЕЛЛИТОВОГО ДИАНГИДРИДА С АРОМАТИЧЕСКИМИ АМИНАМИ

Полиимида, характеризующиеся высокой термостабильностью, образуются в ходе реакции поликонденсации диангидридов и диаминов и последующей имидизации полиамидокислоты (ПАК). Первая стадия — взаимодействие диангидридов, в данном случае пиромеллитового диангидрида (ПМДА), с ароматическими аминами (АДА) — в некоторой степени изучена кинетически (<sup>1</sup>, <sup>2</sup>), однако недостаточно выяснен механизм этого взаимодействия.

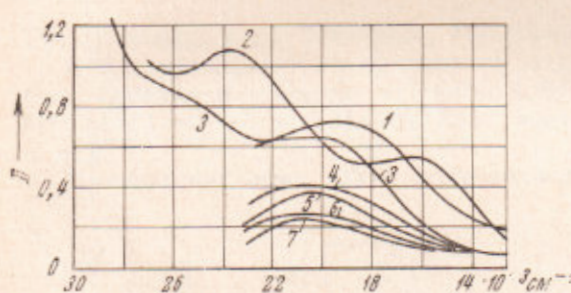
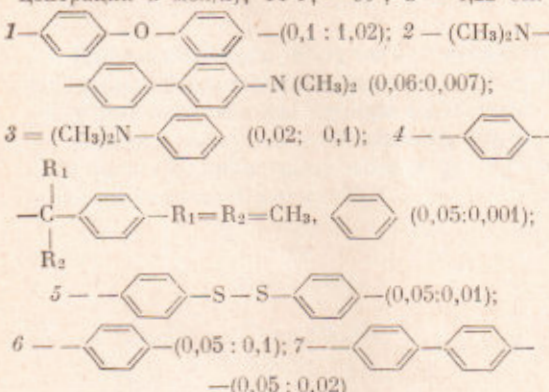


Рис. 1. Спектры поглощения комплексов ПМДА с ароматическими аминами (в скобках даны концентрации в мол/л), ТГФ,  $-90^{\circ}$ ;  $d = 1,22 \text{ см}$ :



Цель настоящей работы состоит в получении спектральных характеристик комплексов ПМДА с АДА в растворе. В наших опытах исследования проводились при  $-90^{\circ}$  в среде предельно очищенного тетрагидрофурана путем быстрого смешения компонентов и записи спектров в области  $30000-13000 \text{ см}^{-1}$  на спектрофотометре Specord или регистрации на приборе «Спектровизор СП-105». ПМДА очищался вакуумной сублимацией, амины — многократной кристаллизацией.

На рис. 1 приведены спектры ряда систем ПМДА — АДА непосредственно после смешения. Исходные вещества, как правило, прозрачны в

видимой области спектра. Слабое поглощение ПМДА и некоторых аминов компенсировалось. Обращает прежде всего внимание полоса поглощения у  $20000-17000 \text{ см}^{-1}$ , которая отчетливо наблюдается для всех аминов (рис. 1). Ее интенсивность убывает с течением времени, причем скорость убывания и положение этой полосы в спектре зависит от природы амина. Для комплексов некоторых аминов удается наблюдать и вторую, высокочастотную полосу у  $25000 \text{ см}^{-1}$ . Обе полосы одинаковым образом изменяются во времени.

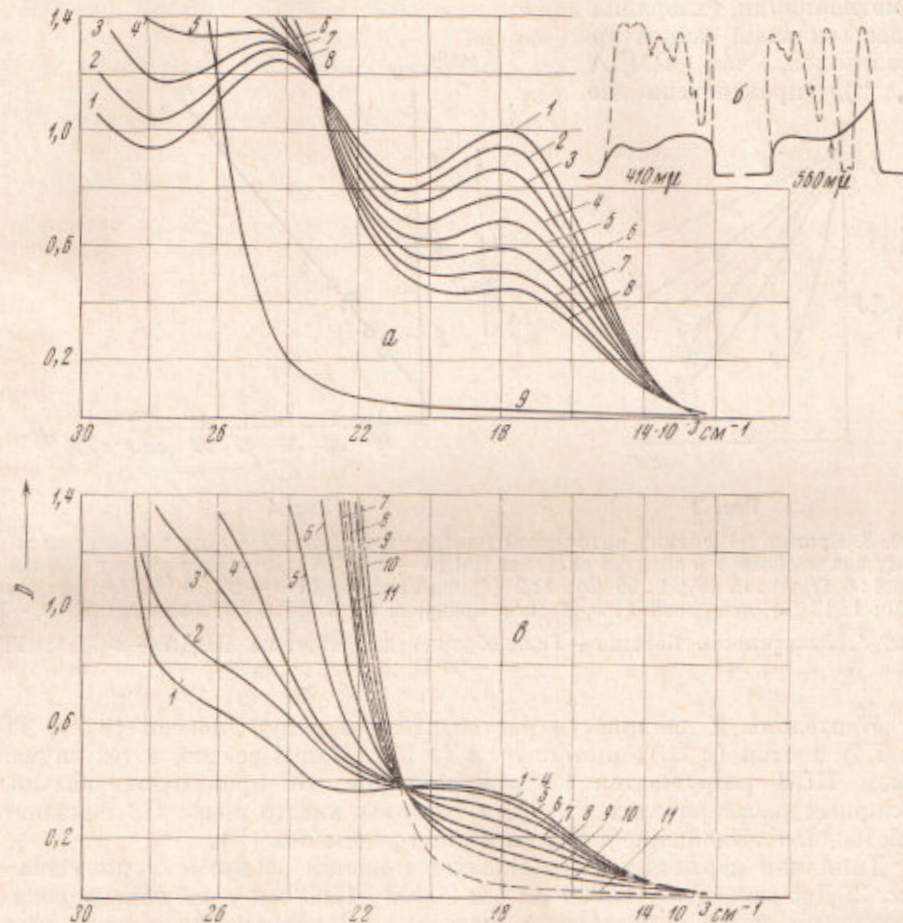


Рис. 2. Спектры поглощения комплексов: *a* — ПМДА (0,0033 мол/л) с *м*-ФДА (0,039 мол/л) в ТГФ,  $-90^\circ\text{C}$ ; 1 — после смешения (скорость записи  $83 \text{ см}^{-1}/\text{сек}$ ); 2 — 19 мин., 3 — 35, 4 — 66, 5 — 89, 6 — 122, 7 — 145, 8 — 160 мин., 9 — комнатная температура; *б* — ПМДА (0,01 мол/л) с *м*-ФДА (0,01 мол/л), спектр получен на спектровизоре через 3 сек. после смешения; ТГФ,  $-53^\circ\text{C}$ ; пунктир — реперный спектр дидимового стекла;  $d = 1,22 \text{ см}$ ; *в* — ПМДА (0,044 мол/л) с 4,4'-диаминодифениловым эфиром (0,017 мол/л) в ТГФ,  $-90^\circ\text{C}$ ; 1 — после смешения, 2 — 3 мин., 3 — 5, 4 — 7, 5 — 15, 6 — 24, 7 — 38, 8 — 49, 9 — 60, 10 — 72 мин., 11 — комнатная температура;  $d = 1,22 \text{ см}$ .

Указанные полосы не могут быть обусловлены продуктами реакции, так как они наблюдаются и имеют наибольшую интенсивность непосредственно после смешения компонентов (рис. 2*б*). Вполне обоснованно предположить, учитывая данные (<sup>11</sup>, <sup>12</sup>), что ПМДА образует КПЗ с первичными и замещенными ароматическими аминами. Следовательно, дублеты, наблюдающиеся в видимой области спектра, являются полосами переноса заряда. За мультиплетность спектра КПЗ, по-видимому, от-

ветствен ПМДА (две близко расположенные орбитали, участвующие во взаимодействии), так как расстояние между полосами дублета почти одинаково для разных аминов ( $\sim 6500 \text{ см}^{-1}$ ) и, кроме того, комплекс хлоранил — диметиланилин дает одиночную полосу ПЗ  $15400 \text{ см}^{-1}$  (ср. рис. 1, кривая 3).

Необходимо отметить, что в ТГФ, по-видимому, не происходит ионизации исследуемых комплексов с образованием ион-радикалов. Действительно, спектры модельных систем ПМДА — диметиланилин и хлоранил — диметиланилин (хлоранил

более сильный акцептор электронов, чем ПМДА ( $^3, ^{15}$ )) практически не

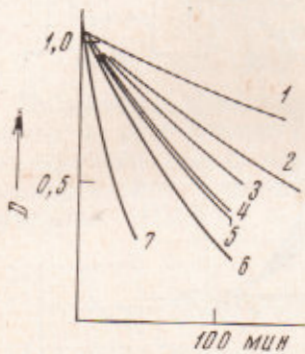


Рис. 3

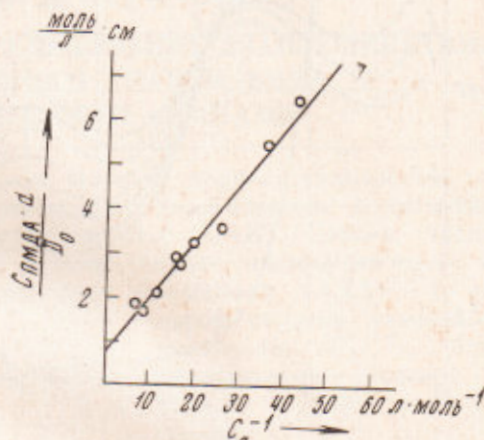


Рис. 4

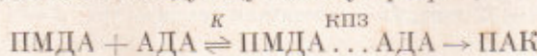
Рис. 3. Кривые изменения оптической плотности полосы  $18000 \text{ см}^{-1}$  (смещены к одному значению  $D_0$ ) в спектре системы ПМДА — м-ФДА при соотношениях компонентов 1 : 6 (1); 1 : 15 (2); 1 : 55 (3); 1 : 2 (4); 1 : 12 (5), исходный ТГФ; 1 : 12 (6), исходный ТГФ, 30 мин. продувка  $O_2$ ; 1 : 15 (7), очищенный ТГФ,  $-66^\circ C$

Рис. 4. Зависимость Бенеши — Гильдебранда для системы ПМДА — м-ФДА; ТГФ,  $-90^\circ C$

чувствительны к полярности растворителя в ряду: диоксан ( $\epsilon = 2$ ), ТГФ ( $\epsilon = 7,4$ ) ацетон ( $\epsilon = 20$ ), ацетонитрил ( $\epsilon = 37$ ). Как известно, в тех случаях, когда КПЗ разрушается до ион-радикалов, что происходит обычно в полярных растворителях ( $^{14}, ^{15}$ ), в спектрах вместо полос ПЗ появляется собственное поглощение анион- и катион-радикалов ( $^{16}$ ).

Типичная картина спектральных изменений во времени показана на рис. 2. Две полосы у  $25000 \text{ см}^{-1}$  и  $20000-1700 \text{ см}^{-1}$ , наблюдающиеся в начальный момент, постепенно исчезают. Одновременно с этим растет поглощение в области  $30000-28000 \text{ см}^{-1}$ . Последнее характерно для продукта реакции и является низкочастотным крылом сложной полосы поглощения ароматических колец ПМДА и АДА у  $32000 \text{ см}^{-1}$ . При образовании химической связи между ПМДА и АДА эта полоса уширивается и становится более интенсивной. Кроме того, ее параметры зависят от степени завершенности реакции (рис. 2, кривые 9а и 11в).

Можно предположить следующую схему превращений:



Более детально изучена система ПМДА — м-ФДА (рис. 2). Кинетические кривые (рис. 3) экстраполировались к  $t = 0$  для получения начальных оптических плотностей ( $D_0$ ) полосы  $18000 \text{ см}^{-1}$ .

По уравнению Бенеши — Гильдебранда

$$\frac{C_{\text{ПМДА}} d}{D_0} = \frac{1}{K \epsilon C_{\text{АДА}}} + \frac{1}{\epsilon},$$

где  $\varepsilon$  — экстинкция полосы,  $d$  — толщина кюветы, для системы ПМДА — м-ФДА определены экстинкция полосы  $18000 \text{ см}^{-1}$  ( $\varepsilon$ ) и константа равновесия ( $K$ ). Для этой цели варьировалось соотношение ПМДА: м-ФДА в условиях избытка амина (рис. 4). Величина  $\varepsilon$  оказалась равной  $1400 \text{ л} \cdot \text{моль}^{-1} \cdot \text{см}^{-1}$ . Константа равновесия составила  $6 \text{ л} \cdot \text{моль}^{-1}$ . Именно таков порядок величин  $\varepsilon$  и  $K$ , измеренных для КПЗ ароматических аминов с сильными акцепторами<sup>(17)</sup>.

Степень чистоты ТГФ оказывала заметное влияние на скорость процесса (рис. 3), но не отражалась на величинах  $\varepsilon$  и  $K$ . Продувка растворителя кислородом (30 мин) ускорила реакцию в случае неочищенного ТГФ (рис. 3) и практически не влияла на скорость при использовании ТГФ высокой степени чистоты. Эти факты позволяют говорить о роли перекисей (возможно, и других соединений) в процессах разрушения КПЗ и их превращения в ПАК.

Институт высокомолекулярных соединений  
Академии наук СССР  
Ленинград

Поступило  
29 IV 1971

#### ЦИТИРОВАННАЯ ЛИТЕРАТУРА

- <sup>1</sup> W. Wrasidlo, R. Hergenrother, H. Levine, Am. Chem. Soc. Polymer Preprints, 5 (1), 141 (1964). <sup>2</sup> К. К. Калининъш, Е. Ф. Федорова и др., ДАН, 195, 364 (1970). <sup>3</sup> H. H. Rosenberg, E. Eimutis, D. Hale, J. Chem. Phys., 70, 4066 (1966). <sup>4</sup> Y. Nakayama, Y. Ichikawa, T. Matsuo, Bull. Chem. Soc. Japan, 38, 1674 (1965). <sup>5</sup> I. Ilmet, P. M. Rashba, J. Phys. Chem., 71, 1140 (1967). <sup>6</sup> L. L. Fershtanding, W. G. Toland, C. D. Heaton, J. Am. Chem. Soc., 83, 1151 (1961). <sup>7</sup> А. Я. Ардашников, И. Е. Кардаш и др., ДАН, 164, 1293 (1965). <sup>8</sup> В. К. Потапов, Усп. хим., 39, 2078 (1970). <sup>9</sup> А. Н. Праведников, И. Е. Кардаш и др., Высокомолек. соед., 13, 425 (1971). <sup>10</sup> R. A. Dine-Hart, W. W. Wright, J. Appl. Polymer Sci., 11, 609 (1967). <sup>11</sup> R. Foster, Organic Charge-Transfer Complexes, London, N. Y., 1969, p. 40. <sup>12</sup> И. Е. Кардаш, И. П. Глухоедов и др., ДАН, 191, 391 (1970). <sup>13</sup> D. R. Kearns, M. Calvin, J. Am. Chem. Soc., 83, 2110 (1961). <sup>14</sup> J. W. Eastman, G. Engelsma, M. Calvin, J. Am. Chem. Soc., 84, 1339 (1962). <sup>15</sup> R. Foster, T. J. Thomson, Trans. Farad. Soc., 58, 860 (1962). <sup>16</sup> Y. Iida, Matsunada, Bull. Chem. Soc. Japan, 41, 2535 (1968). <sup>17</sup> Z. Rappoport, A. Horowitz, J. Chem. Soc., 1964, 1348.